

第十二章

半导体在磁场中的效应



第十二章

12.1 霍尔效应

12.2 磁阻效应

12.3 热磁效应





12.1 霍尔效应

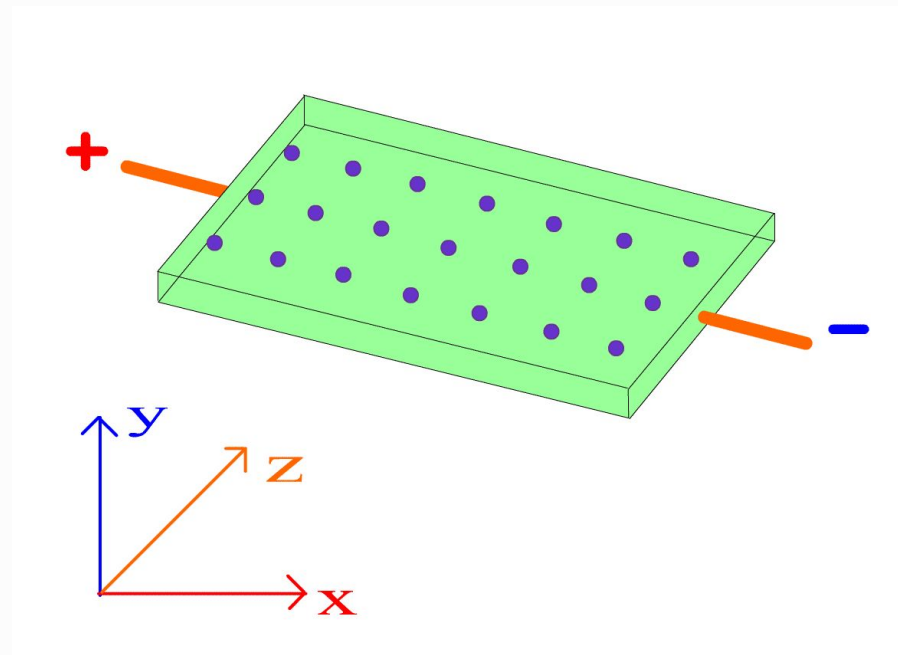
一、霍尔效应

样品受到 x 方向的电场 E_x （在样品中存在电流 J_x ）， z 方向的磁场 B_z ，在 y 向上产生一个横向电场 E_y ，这一现象称为霍尔效应。

$$E_y = R_H J_x B_z$$

$$R_H = \frac{E_y}{J_x B_z}$$

霍尔系数

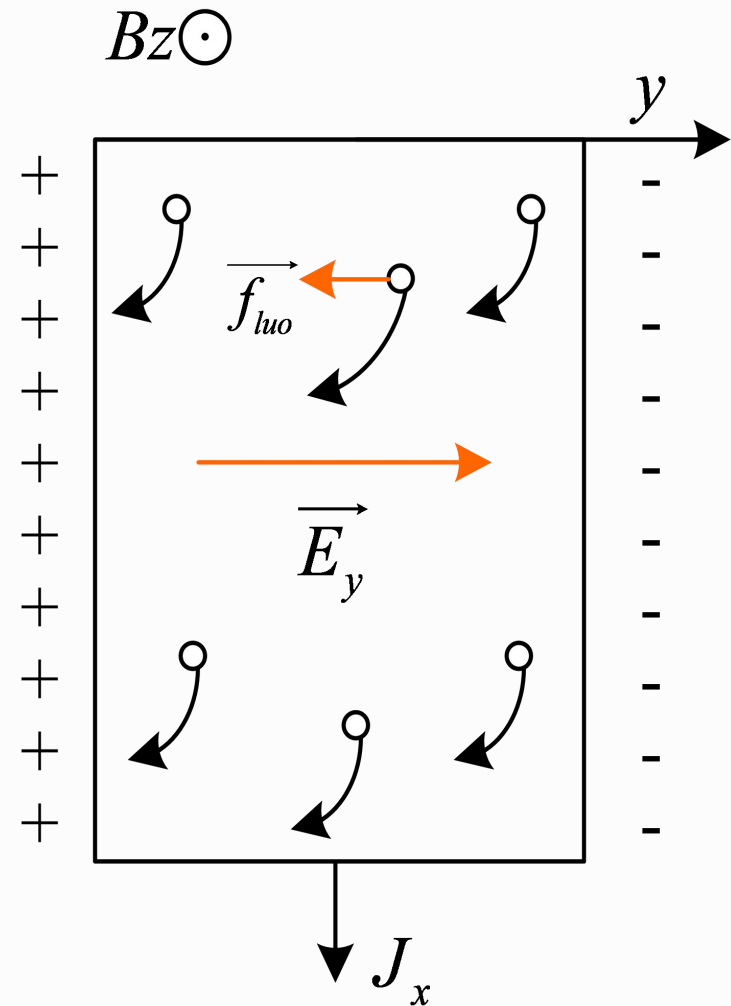


二、只有一种载流子的霍尔效应

- 假设只有一种载流子；
- 温度均匀；
- 忽略载流子的速度分布。

1、p型半导体(空穴)

空穴沿 x 方向运动时，受洛伦兹力的作用，向 y 方向偏移，积累在左边，形成霍尔电场 E_y （沿 y 的正方向）



二、只有一种载流子的霍尔效应

空穴在 y 方向同时受到霍尔电场力和洛伦兹力的作用

$$\begin{array}{cc} \downarrow & \downarrow \\ \boxed{qE_y} & \boxed{-qv_x B_z} \end{array}$$

稳态时: $qE_y - qv_x B_z = 0$

$$\boxed{J_x = qp v_x}$$

$$\boxed{R_H = \frac{E_y}{J_x B_z}}$$

$$E_y = v_x B_z = \frac{J_x}{qp} B_z$$

$$\boxed{R_H = \frac{1}{pq} > 0}$$

$$[m^3 / C]$$

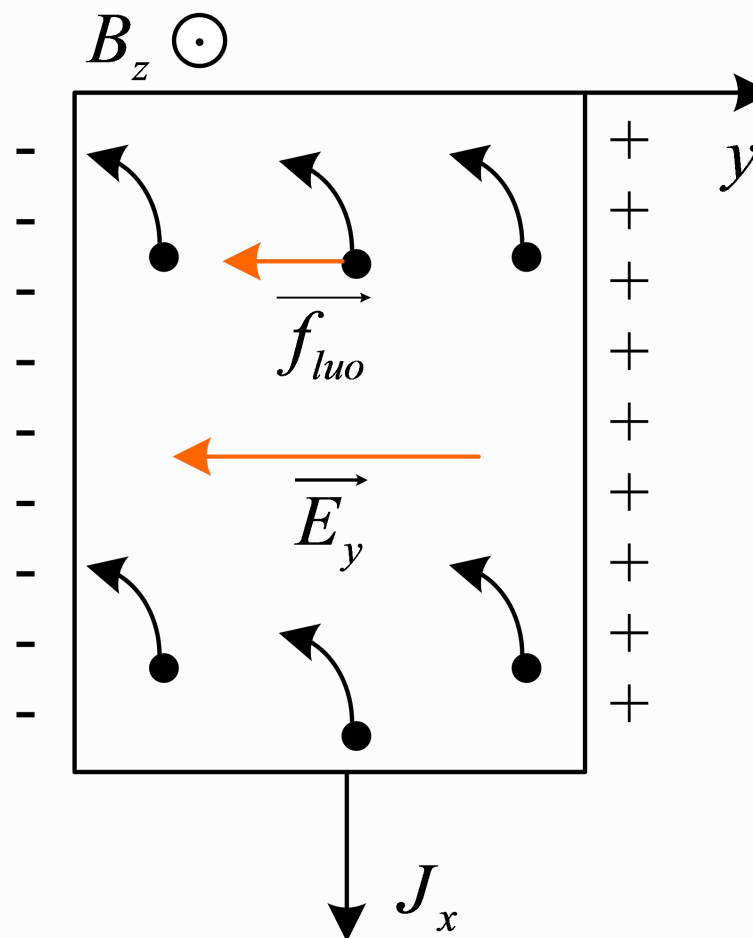


二、只有一种载流子的霍尔效应

2、N型半导体 (电子)

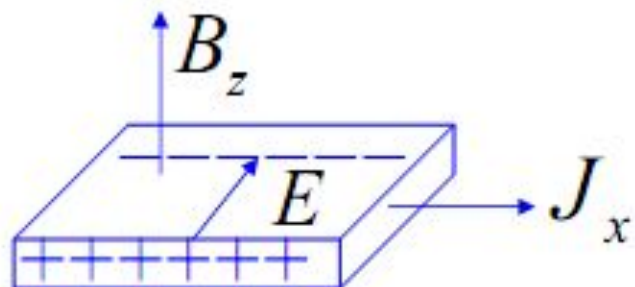
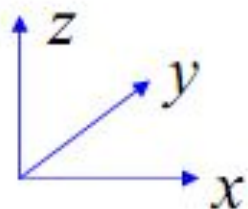
霍尔电场沿y的负方向

$$R_H = -\frac{1}{nq} < 0$$

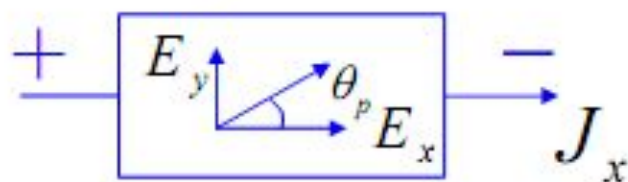


二、只有一种载流子的霍尔效应

霍尔角



p型

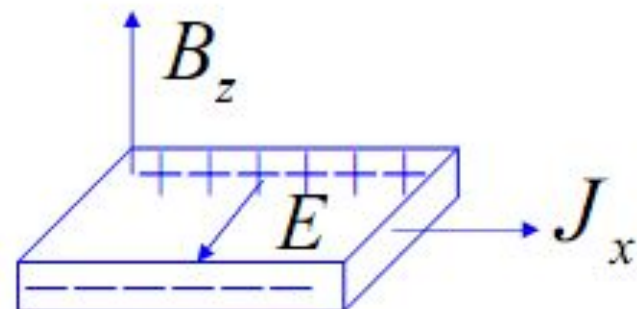


$$\tan \theta_p = \frac{E_y}{E_x} > 0$$

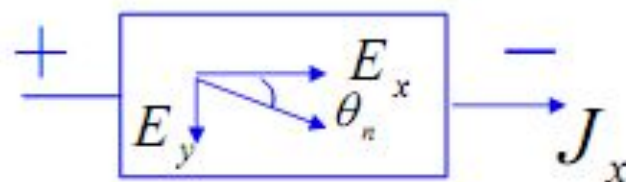
$$\tan \theta_p = \mu_p B_z$$

$$E_y = v_x B_z$$

$$v_x = \mu E_x$$



n型



$$\tan \theta_n = -\frac{E_y}{E_x} < 0$$

$$|\tan \theta_n| = \mu_n B_z$$

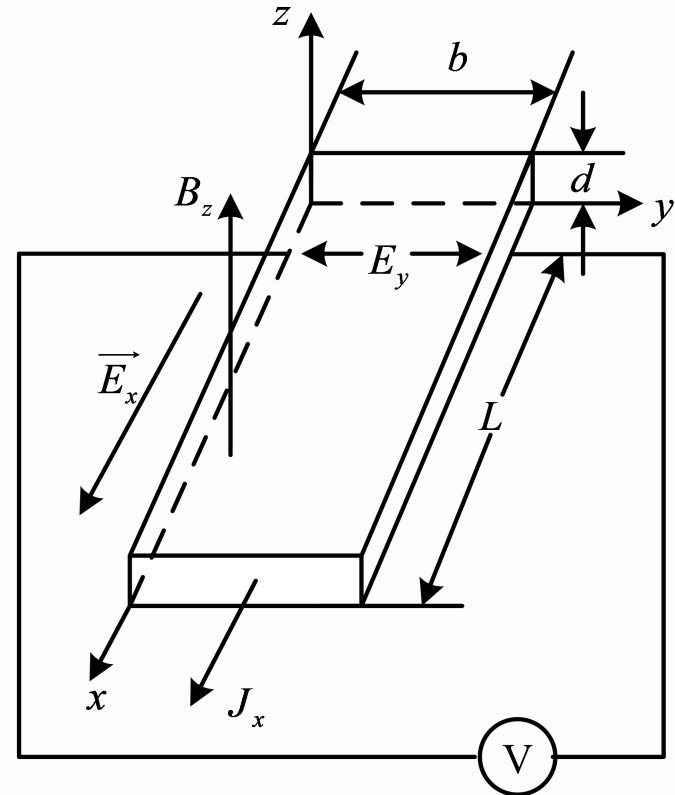
二、只有一种载流子的霍尔效应

霍尔系数的测量

样品长为 $l(x)$ ，宽为 $b(y)$ ，厚为 $d(z)$ ；

霍尔电场 $E_y = V_H / b$ $J_x = I_x / bd$

$$E_y = R_H J_x B_z$$
$$V_H = R_H \frac{I_x B_z}{d}$$



根据其正负判断半导体的类型



三、有两种载流子的霍尔效应

半导体中同时存在电子和空穴时 $J_x = q(n\mu_n + p\mu_p)E_x$

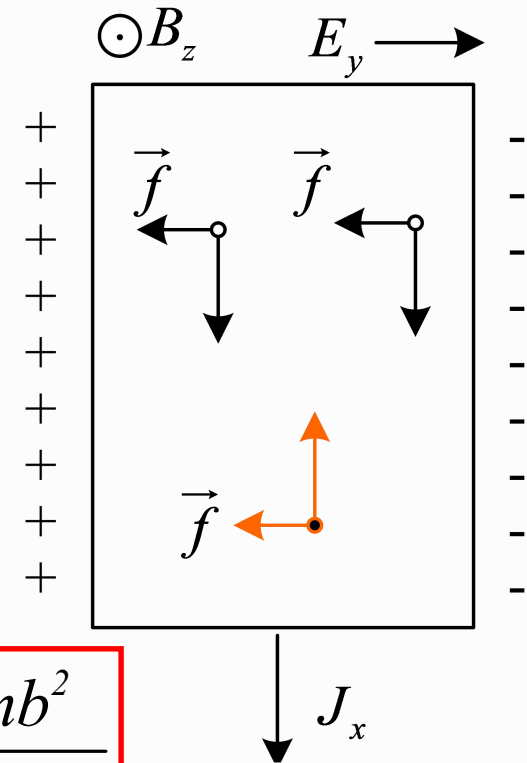
平衡时横向电流为零，包括空穴横向电流和电子横向电流：

$$J_y = (J_p)_y + (J_n)_y = 0$$

$$\text{空穴: } (J_p)_y = pq\mu_p E_y - pq\mu_p^2 E_x B_z$$

$$\text{电子: } (J_n)_y = nq\mu_n E_y + nq\mu_n^2 E_x B_z$$

$$R_H = \frac{1}{q} \cdot \frac{p\mu_p^2 - n\mu_n^2}{(p\mu_p + n\mu_n)^2} \xrightarrow{b = \frac{\mu_n}{\mu_p}} R_H = \frac{1}{q} \cdot \frac{p - nb^2}{(p + nb)^2}$$



三、有两种载流子的霍尔效应

霍尔系数随温度的变化

$$R_H = \frac{1}{q} \cdot \frac{p - nb^2}{(p + nb)^2} \quad b = \frac{\mu_n}{\mu_p} > 1$$

1、n型半导体

常温 $R_H = -\frac{1}{nq} < 0$

随温度的升高 $R_H < 0$ $|R_H|$ 减小

当温度升高到本征温度时 $R_H = \frac{1}{qn_i} \cdot \frac{1-b^2}{(1+b)^2} < 0$ R_H 数值很小

霍尔系数始终小于零，但随温度升高，其数值减小。



三、有两种载流子的霍尔效应

$$R_H = \frac{1}{q} \cdot \frac{p - nb^2}{(p + nb)^2} \quad b = \frac{\mu_n}{\mu_p} > 1$$

2、p型半导体

$$\text{常温} \quad R_H = \frac{1}{pq} > 0$$

温度升高到某一温度 T_R ，使 $p = nb^2$ 时 $R_H = 0$

$$\text{温度升高到本征温度} \quad R_H = \frac{1}{qn_i} \cdot \frac{1 - b^2}{(1 + b)^2} < 0$$

当温度从杂质导电范围过渡到本征范围时，霍尔系数变号。



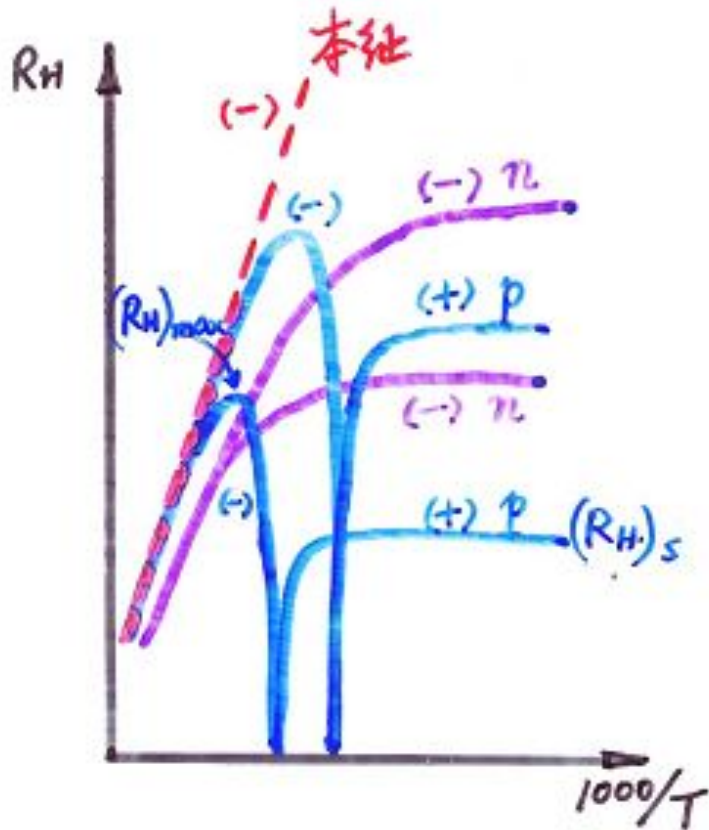
三、有两种载流子的霍尔效应

$$R_H = \frac{1}{q} \cdot \frac{p - nb^2}{(p + nb)^2} \quad b = \frac{\mu_n}{\mu_p} > 1$$

3、本征半导体

$$R_H = \frac{1}{qn_i} \cdot \frac{1 - b^2}{(1 + b)^2} < 0$$

随着温度的升高， $|R_H|$ 减小



三、有两种载流子的霍尔效应

速度分布的修正

若考虑速度分布，需将迁移率 μ 修正为霍尔迁移率 μ_H

霍尔角: $\tan\theta = \mu_H B_z$

霍尔系数中代入 $r = \frac{\mu_H}{\mu}$

n-type:	$R_H = -\frac{r}{nq}$	$\sigma_n = nq\mu$	$ R_H \sigma_n = r\mu_n = (\mu_H)_n$
p-type:	$R_H = \frac{r}{pq}$	$\sigma_p = pq\mu$	$ R_H \sigma_p = r\mu_p = (\mu_H)_p$





12.2 磁阻效应

一、什么是磁阻效应

磁阻效应：

当在与电流垂直的方向加一磁场后，半导体沿外加电场方向的电流密度有所降低，或电阻有所增大。

磁阻效应不但与所加的磁场有关（**物理磁阻效应**），还与材料的几何形状有关（**几何磁阻效应**）。



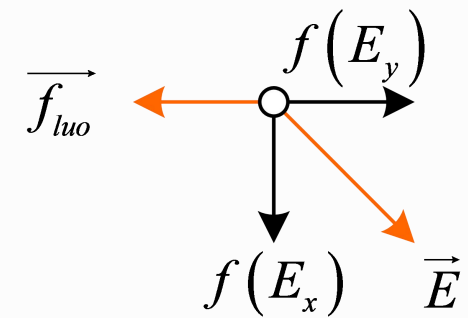
二、物理磁阻效应

1、只考虑一种载流子

用电阻率的相对改变描述磁阻的大小，即 $\frac{\rho_B - \rho_0}{\rho_0} = \frac{\Delta\rho}{\rho_0}$

可以证明 $\frac{\Delta\rho}{\rho_0} = \xi u_H^2 B_z^2$

ξ 横向磁阻系数



■ 产生磁阻的原因：

①载流子散射几率增大

在电场力和洛仑兹力的作用下，空穴散射几率增大、迁移率下降，电导率降低。



二、物理磁阻效应

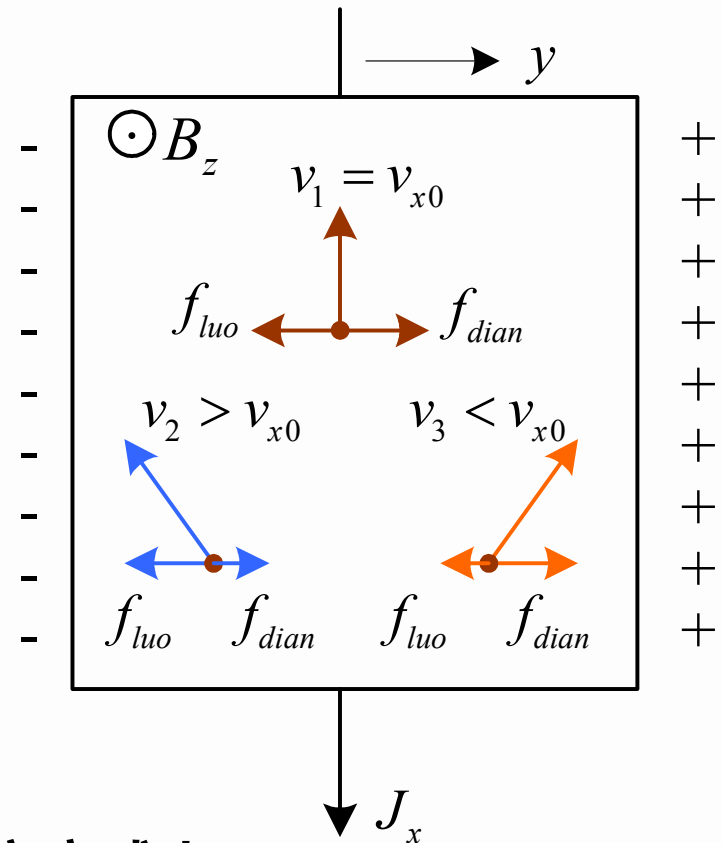
② 半导体中载流子的速度分布

以电子为例：

$v_1 = v_{x0}$ $f_{dian} = f_{luo}$ 电子不偏转

$v_2 > v_{x0}$ $f_{luo} > f_{dian}$ 电子向左偏转；

$v_3 < v_{x0}$ $f_{luo} < f_{dian}$ 电子向右偏转；



使沿电场方向运动的载流子数减少，电流密度减小。

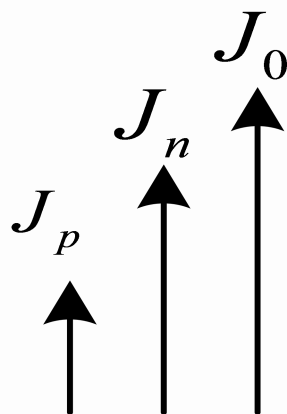
这是物理磁阻效应的主要原因。



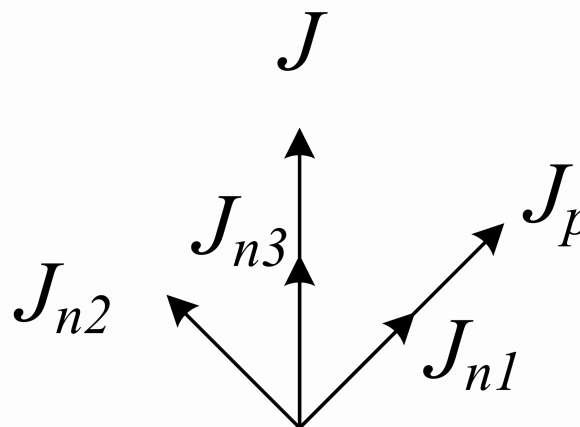
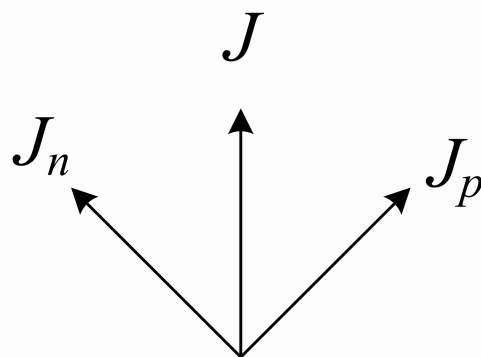
二、物理磁阻效应

2、考虑两种载流子

➤ 无磁场作用时:



➤ 有磁场作用时:



沿x方向运动的载流子数总是减少的，x方向的电阻总是增大的。



三、几何磁阻效应

$$\frac{\Delta\rho}{\rho} = g\mu_H^2 B_z^2$$

↓
几何修正因子

■产生几何磁阻的原因：

由于材料形状的影响，材料中的霍尔电场分布不均匀，导致某些区域载流子的运动轨迹发生弯曲，使电流流通的路径增长，样品电阻增大



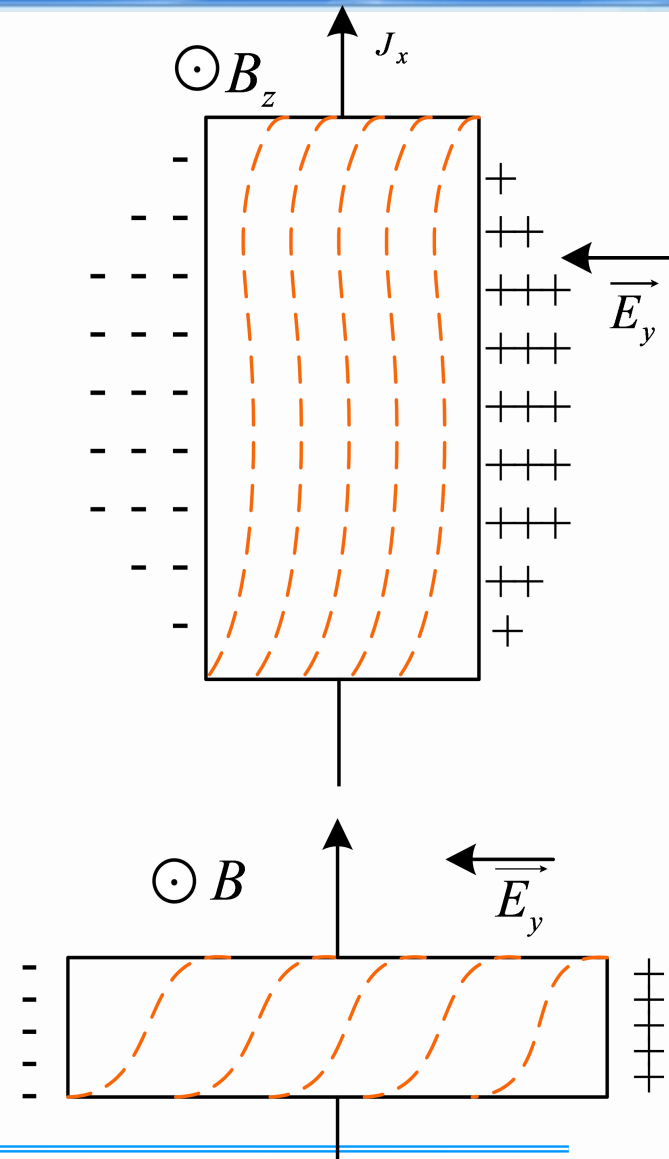
三、几何磁阻效应

①长条形样品:

靠近电极处，载流子沿霍尔电场反方向偏转，电流流通过程增大，但不明显，几何磁阻效应较弱。

②扁条形样品:

载流子在样品内部一直沿霍尔电场反方向偏转，电流流通过程明显增长，几何磁阻效应较强。



三、几何磁阻效应

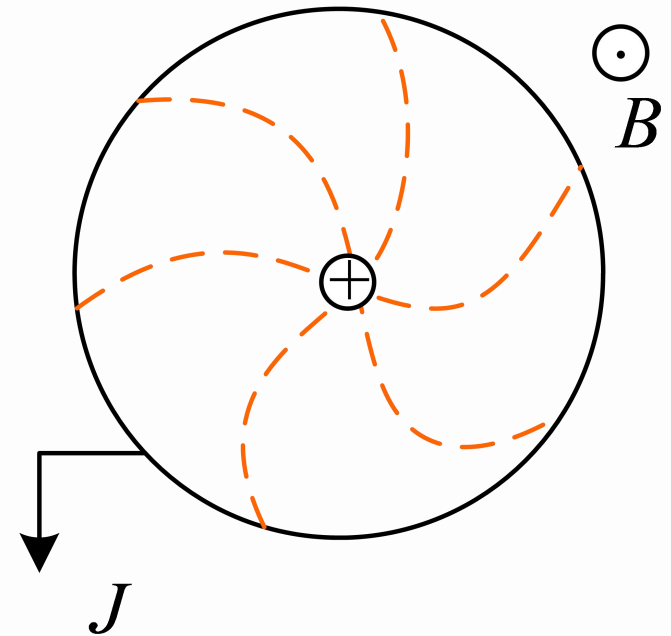
③圆盘形样品——科比诺圆盘

从圆盘中心施加辐射形外电场：从圆盘中心流出的电流在到达周围电极以前，总是沿螺旋路径流动，使电流流通过程大大增长。

有磁场时的电阻

$$\frac{R_B}{R_0} = \frac{\rho_B}{\rho_0} (1 + \tan^2 \theta)$$

无磁场时的电阻





12.3 热磁效应

一、爱廷豪森效应

- x 方向的电流和 z 方向的磁场 \longrightarrow y 方向温度梯度

$$\frac{\partial T}{\partial y} = P J_x B_z$$

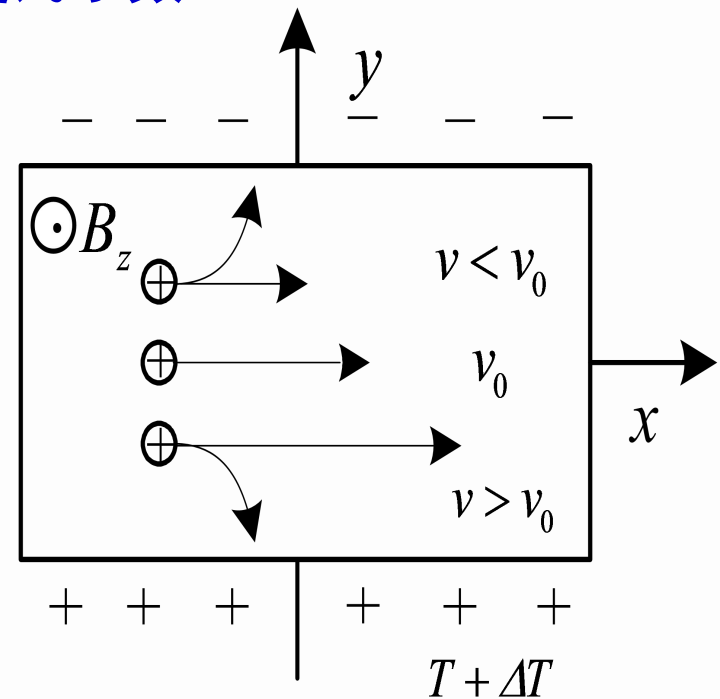
└──────────┬──────────> 爱氏系数

以p型材料为例:

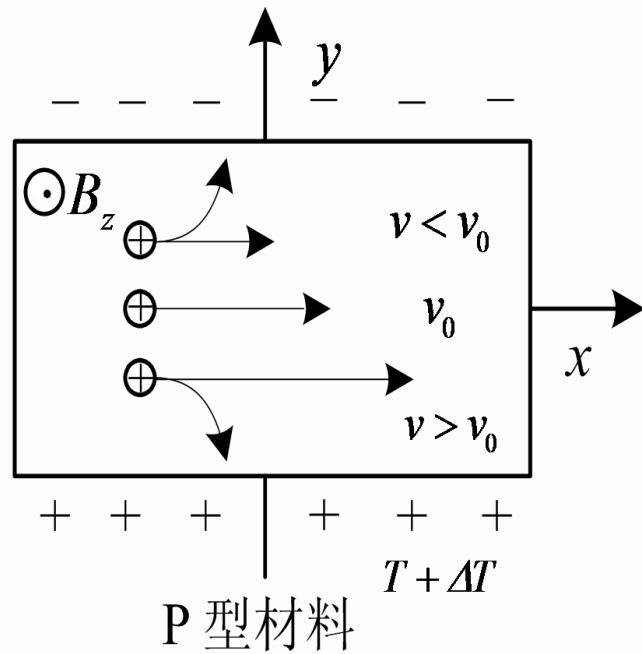
当 $v = v_0$ 时, 空穴不偏转;

当 $v < v_0$ 时, 空穴向上偏转, 与晶格碰撞吸收能量, 晶格温度下降;

当 $v > v_0$ 时, 空穴向下偏转, 与晶格碰撞放出能量, 晶格温度升高。



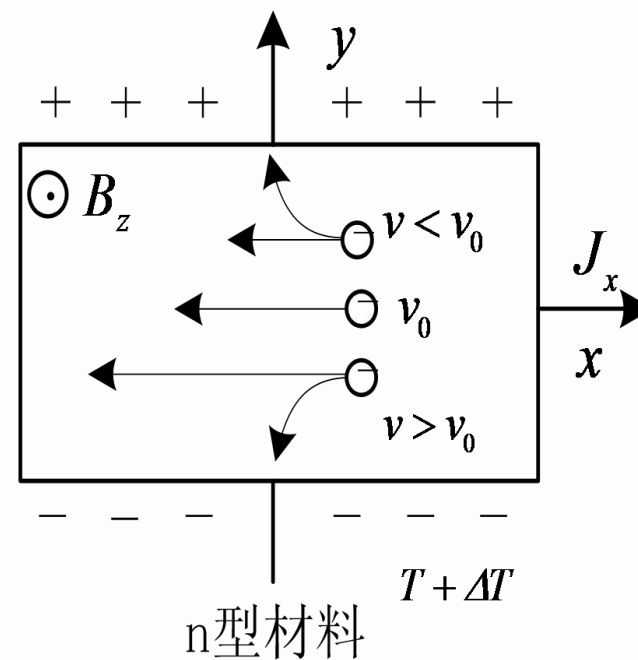
一、爱廷豪森效应



p型材料:

温度梯度沿y的负方向,

霍尔电场与温度梯度方向相反。



n型材料:

温度梯度沿y的正方向,

霍尔电场与温度梯度方向相同。



二、其他热磁效应

能斯脱效应

x 方向热流（或温度梯度）， z 方向磁场 \longrightarrow y 方向的电动势

$$E_y = -\eta \left(\frac{\partial T}{\partial x} \right) B_z$$

能斯脱系数

里纪-勒杜克效应

x 方向热流， z 方向磁场 \longrightarrow y 方向的温度梯度

$$\frac{\partial T}{\partial y} = S \left(\frac{\partial T}{\partial x} \right) B_z$$

里纪-勒杜克系数



霍尔效应 $E_y \sim J_x B_z$

磁阻效应 $\frac{\partial \rho}{\partial x} \sim J_x B_z$

爱廷豪森效应 $\frac{\partial T}{\partial y} \sim J_x B_z$

能斯脱效应 $E_y \sim \left(\frac{\partial T}{\partial x} \right) B_z$

里纪-勒杜克效应 $\frac{\partial T}{\partial y} \sim \left(\frac{\partial T}{\partial x} \right) B_z$





谢 谢

